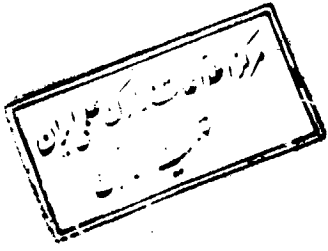


The image consists of five vertical columns of abstract, angular shapes, possibly representing stylized architectural elements or modern art pieces. The shapes are composed of dark, jagged, and sharp-edged forms against a light background. The first column on the left features a large, broad, flat-topped shape with a central vertical line. The second column contains several tall, thin, and slightly curved vertical shapes. The third column has a mix of tall, thin shapes and shorter, more rounded, flame-like structures. The fourth column is dominated by tall, thin, and slightly curved vertical shapes. The fifth column on the right features a tall, thin shape with a prominent, sharp, curved edge extending downwards. The overall composition is minimalist and geometric.

PTVΛΙ



۱۳۸۰ ۱۱۱ ۱۰



دانشگاه صنعتی اصفهان

دانشکده شیمی

بررسی بعضی از نقاط همرسی در سیالات چگال
با استفاده از معادلات حالت

۱۰۰۱۹

پایان نامه کارشناسی ارشد شیمی

سید رسول نوریان

استاد راهنما

دکتر غلامعباس پارسافر

۱۳۷۸

۳۲۷۸۱



دانشگاه صنعتی اصفهان

دانشکده شیمی

پایان نامه کارشناسی ارشد شیمی آفای سید رسول نوریان نجف آبادی -

تحت عنوان

بررسی بعضی از نقاط همرسی در سیالات چگال
با استفاده از معادلات حالت

تاریخ ۱۳۷۸/۱۲/۲ توسط کمیته تخصصی زیر مورد بررسی و تصویب نهایی قرار گرفت.

دکتر غلامعباس پارساfer
دکتر بیژن نجفی
دکتر هادی اکبرزاده
دکتر غلامعباس پارساfer

۱- استاد راهنمای پایان نامه

۲- استاد مشاور پایان نامه

۳- استاد داور

سرپرست تحصیلات تکمیلی دانشکده

از استاد ارجمند جناب
آقای دکتر پارسا فرکه
در تمام مراحل تحمیلی
و انجام این تز از راهنمائی
ایشان بهره مند بوده ام
تشکر و سپاس گزاری
می نمایم.

کلیه حقوق مادی مترتب بر نتایج مطالعات،
ابتكارات و نوآوریهای ناشی از تحقیق موضوع
این پایان نامه (رساله) متعلق به دانشگاه صنعتی
اصفهان است.

**با سپاس از خداوند متعال
و تقدیر از پدر و مادر
ارجمندم که نخستین مشاور
و بهترین راهنمای زندگی ام
بوده اند.**

تقدیم به همسر و خانواده گرامیم

فهرست مطالب

صفحه	عنوان
هشت	فهرست مطالب
۱	چکیده
فصل اول : نیروهای بین مولکولی	
۲	۱-۱- حالت‌های مختلف ماده
۲	۱-۱-۱- حالت جامد
۳	۱-۱-۲- حالت گازی
۴	۱-۱-۳- حالت مایع
۶	۱-۲- برهم کنش بین دو مولکول
۸	۱-۳- انرژی جاذبه بین مولکولی
۸	۱-۳-۱- نیروهای الکتروستاتیک
۱۰	۱-۳-۲- اثرات القابی
۱۱	۱-۳-۳- پتانسیل دوقطبیهای لحظه‌ای
۱۱	۱-۴- انرژی پتانسیل جاذبه کل
۱۲	۱-۵- انرژی پتانسیل دافعه مولکولی
۱۲	۱-۶- انرژی بر هم کنش کل بین دو مولکول
۱۲	۱-۷- معرفی توابع پتانسیل بین مولکولی
۱۲	۱-۷-۱- تابع پتانسیل ۱۲-۶ لنارد جونز
۱۳	۱-۷-۲- پتانسیل کره سخت
۱۵	۱-۷-۳- پتانسیل چاه مربعي
۱۵	۱-۷-۴- پتانسیل مراکز دافعه نقطه‌ای
۱۵	۱-۷-۵- پتانسیل ساترلند
۱۷	۱-۷-۶- پتانسیل چاه مثلثی
۱۷	۱-۷-۷- پتانسیل بوکینگهام
۱۸	۱-۷-۸- پتانسیل کونر- بوکینگهام

۱۸	۹-۷-۱- پتانسیل مورس
۱۹	۱۰-۷-۱- پتانسیل عزیز

فصل دوم : معادلات حالت و قواعد حاکم بر سیالات چگال

۲۰	۱-۲- معادله حالت گاز ایده ال
۲۱	۲-۲- محاسبه معادله حالت با استفاده از روش‌های آماری
۲۲	۲-۳- معادله حالت وان دروالس
۲۳	۲-۳-۱- اصلاح معادله وان دروالس با استفاده از نظریه اختلال
۲۴	۲-۳-۲- تصحیح جمله دافعه در معادله وان دروالس
۲۶	۲-۴- معادله حالت ویریال
۲۷	۲-۴-۱- ارتباط ضرایب ویریال با اثرات متقابل مولکولها
۳۲	۲-۵- در این بخش بعضی معادلات حالت مهم دیگر به اختصار آورده می شود
۳۲	۳-۱- معادلات بتی - بریجمن
۳۳	۳-۲- معادله حالت ردیخ - وانگ
۳۳	۳-۳- معادله حالت پنگ - راینسون
۳۴	۳-۴- معادله حالت برتولت
۳۴	۴-۰-۱- معادله حالت دیترسی
۳۴	۴-۰-۲- معادلات حالت برای سیالات رفیق
۳۴	الف- معادله حالت سو
۳۴	ب- معادله کارناهان - استارلینگ - وان دروالس
۳۵	ج- معادله حالت دیترس - رانزیو
۳۵	۷-۰-۲- معادله حالت ایم - سانگ - میسون
۳۶	۸-۰-۲- معادله حالت میسون - تائو
۳۷	۹-۰-۲- معادله حالت استروبریدج
۳۸	۱۰-۰-۲- معادله حالت نیمه تجربی دیترز
۳۸	۱۱-۰-۲- معادله جدید اصلاح شده وان دروالس
۳۹	۶-۰-۲- معرفی چند معادله حالت برای سیالات مختلف
۴۰	۶-۱-۲- معادله تیت

۴۱	۲-۶-۲- معادله مار ناگان
۴۲	۳-۶-۲- معادله حالت بوانزا
۴۲	۶-۶-۲- قاعدة همدمای خطی
۴۷	۶-۶-۲- نقطه ضریب تراکم پذیری مشترک
۴۷	۷-۲- قواعد تجربی حاکم بر سیالات چگال
۴۹	۷-۲- ۱- نقطه همرسی ضریب تراکم پذیری
۵۰	۷-۲- ۲- نقطه همرسی ضریب کشیدگی
۵۱	۷-۲- ۳- خطی بودن ضریب کشیدگی در مقابل فشار
۵۱	۷-۲- ۴- نقطه همرسی در نمودارهای α_p بر حسب P برای همدماها

فصل سوم : استفاده از معادلات حالت در پیش بینی بعضی از قواعد عمومی در سیالات

۵۳	۱-۳-۱- معادله حالت سیستم چگال
۶۱	۱-۱-۳- نقطه همرسی ضریب تراکم پذیری
۶۳	۱-۲-۳- نقطه همرسی ضریب کشیدگی
۶۵	۱-۳-۳- خطی بودن ضریب کشیدگی بر حسب فشار
۶۶	۲-۳- معادله حالت عمومی سیالات
۶۷	۱-۲-۳- نقطه همرسی ضریب تراکم پذیری
۶۷	۱-۲-۲-۳- نقطه همرسی ضریب کشیدگی
۶۹	۱-۲-۲-۳- خطی بودن ضریب کشیدگی بر حسب فشار
۷۰	۳-۳- ضریب انبساط پذیری همفشار
۷۱	۱-۳-۳- تعریف و رابطه ریاضی ضریب انبساط پذیری
۷۳	۲-۳-۳- اندازه گیری انبساط پذیری همفشار
۷۶	۳-۳-۳- بررسی نقطه همرسی برای همدماهای ضریب انبساط پذیری همفشار بر حسب فشار
۷۹	۳-۳-۴- محاسبه α_p با استفاده از معادله حالت وان دروالس
۸۴	۴-۳- بزررسی ضریب انبساط پذیری همفشار با استفاده از معادله حالت DSEOS
۸۴	۳-۵- نتیجه گیری

فصل چهارم: استخراج دو معادله حالت جدید نیمه تجربی برای سیالات

۴-۱- استخراج معادله حالت جدید ۸۹
۹۱ ۱-۱- ارزیابی معادله حالت جدید با داده های تجربی ۴
۹۲ ۴-۱- تابعیت دمایی ضرایب نسبت به دما ۴
۹۵ ۴-۲- بررسی قواعد حاکم بر سیالات با استفاده از معادله حالت ۴
۹۷ ۴-۲-۱- نقطه همرسی ضریب تراکم پذیری ۴
۹۷ ۴-۲-۲- نقطه همرسی همدماهای ضریب کشیدگی کاهش یافته ۴
۹۹ ۴-۳-۲-۴- خطی بودن ضریب کشیدگی در مقابل فشار ۴
۹۹ ۴-۳- معرفی معادله حالت جدید نیمه تجربی دوم ۴
۱۰۶ ۴-۴- بررسی قواعد حاکم بر سیالات با استفاده از معادله حالت معرفی شده ۴
۱۰۶ ۴-۴-۱- نقطه همرسی فاکتور تراکم پذیری ۴
۱۰۷ ۴-۴-۲- نقطه همرسی همدماهای ضریب کشیدگی ۴
۱۰۸ ۴-۴-۳- وابستگی ضریب انبساط پذیری همفشار به فشار ۴
۱۱۱ ۴-۴-۵- نتیجه گیری ۴

فصل پنجم: تجزیه و تحلیل نقطه همرسی ضریب انبساط پذیری همفشار بر حسب فشار و سایر نقاط همرسی مرتبط با آن قواعد شناخته شده

۵-۱- بررسی نقطه همرسی بر اساس معادله حالت وان دروالس ۱۱۷
۱۱۸ ۵-۱- صرفنظر کردن از پارامتر a در معادله وان دروالس ۵
۱۱۹ ۵-۲- صرفنظر کردن از پارامتر b در معادله وان دروالس ۵
۱۱۹ ۵-۳- وابسته گرفتن پارامتر b به دما ۵
۱۲۰ ۵-۴- پیش بینی نقطه همرسی با استفاده از معادلات حالت مختلف ۵
۱۲۲ ۵-۵- ارزیابی و محاسبه چند نقطه همرسی جدید مرتبط با نقاط همرسی شناخته شده ۵
۱۲۲ ۵-۱-۳-۵- نقطه همرسی در نمودار $\frac{1}{T\alpha_p}$ بر حسب دانسته ۵
۱۲۴ ۵-۲-۳-۵- نقطه همرسی در نمودار p/α_p بر حسب p برای هم محجمها ۵

۳-۳-۵- ارتباط فشار با دما در نقطه همرسی ضرب تراکم پذیری بر حسب دانسته.....	۱۲۶
۴-۳-۵- نقطه تقاطع در نمودار ضرب کشیدگی بر حسب دانسته برای همسفارهای مختلف.....	۱۲۸

فهرست اشکال

عنوان	
صفحه	
شکل ۱-۱ - وابستگی تابع توزیع شعاعی نسبت به فاصله ۲ از یک مولکول فرضی در مبدأ مختصات ۵	
شکل ۱-۲ - تغیرات نیرو و تابع پتانسیل نسبت به فاصله بین دو مولکول ۷	
شکل ۱-۳ - پتانسیل لنارد- جونز (۶-۱۲) ۱۴	
شکل ۱-۴ - پتانسیل کره سخت ۱۴	
شکل ۱-۵ - پتانسیل چاه مربعي ۱۵	
شکل ۱-۶ - پتانسیل مراکز دافعه نقطه ای ۱۶	
شکل ۱-۷ - پتانسیل ساترلند ۱۶	
شکل ۱-۸ - پتانسیل چاه مثلثی ۱۷	
شکل ۱-۹ - پتانسیل بوکینگهام ۱۸	
شکل ۱-۱۰ - نمودار تابع توزیع شعاعی (r) بر حسب ρ ۲۶	
شکل ۲-۱ - تابع f - مایر بر حسب فاصله بین مولکولی ۳۱	
شکل ۲-۲ - محدوده ای که معادله ویرایل معتبر نیست به صورت هاشور خورده نشان داده شده است ۳۲	
شکل ۲-۳ - وابستگی دمایی پارامترهای معادله ایم - سانگ - میون ۳۶	
شکل ۲-۴ - دقت معادله (۷۴-۲) برای چند سیال ۴۱	
شکل ۲-۵ - حجم پیش بینی شده از معادله (۸۰-۲) برای مخلوط $Kr(1-x)Ar(x)$ برای همدماهای مشخص شده ۴۳	
شکل ۲-۶ - پیش بینی رفتار خطی $\rho(z)$ بر حسب V ۴۶	
شکل ۲-۷ - ضریب کشیدگی بر حسب فشار برای همدماهای تولوئن ۴۷	
شکل ۲-۸ - پیش بینی نقطه تراکم پذیری مشترک از LIR برای همدماهای مختلف آرگون ۴۸	
شکل ۲-۹ - پیش بینی نقطه تراکم پذیری مشترک از LIR برای همدماهای مختلف متان ۴۸	
شکل ۲-۱۰ - پیش بینی ضرایب تراکم پذیری بر حسب دانسته برای همدماهای مختلف آرگون ۴۹	
شکل ۲-۱۱ - نقطه همرسی ضرایب تراکم پذیری برای همدماهای مختلف سیال آرگون ۵۰	
شکل ۲-۱۲ - نقطه همرسی ضریب تراکم پذیری بر حسب دانسته برای همدماهای مختلف سیال متان ۵۰	
شکل ۲-۱۳ - نقطه همرسی ضریب کشیدگی برای آرگون ۵۱	
شکل ۲-۱۴ - ضریب کشیدگی کاهش یافته بر حسب فشار برای همدماهای مختلف آرگون ۵۲	
شکل ۲-۱۵ - وابستگی U نسبت به دانسته کاهش یافته برای آرگون در دمای K ۵۴	
شکل ۲-۱۶ - انطباق داده های تجربی نرمال هگزان با معادله DSEOS در دمای K ۵۷	
شکل ۲-۱۷ - انطباق داده های تجربی نرمال بوتان با معادله DSEOS در دمای K ۵۸	
شکل ۲-۱۸ - انطباق داده های تجربی نیتروژن با معادله DSEOS در دمای K ۴۰۰	
شکل ۲-۱۹ - انطباق داده های تجربی نیتروژن با معادله DSEOS در دمای K ۵۸	

شکل ۵-۳ - انطباق داده های تجربی آرگون با معادله DSEOS در دمای K ۵۹
شکل ۶-۳ - وابستگی دمایی پارامتر A_1 معادله حالت DSEOS بر اساس معادله (۱۰-۳) برای تولوئن ۵۹
شکل ۷-۳ - وابستگی دمایی پارامتر A_2 معادله حالت DSEOS بر اساس معادله (۱۰-۳) برای تولوئن ۶۰
شکل ۸-۳ - وابستگی دمایی پارامتر A_3 معادله حالت DSEOS بر اساس معادله (۱۰-۳) برای تولوئن ۶۰
شکل ۹-۳ - جستجو برای یافتن نقطه تقاطع مشترک فاکتور تراکم پذیری آرگون ۶۲
شکل ۱۰-۳ - جستجو برای یافتن نقطه همرسی برای همدماهای ۸۰۰ تا ۱۱۰۰ کلوین سیال آرگون ۶۳
شکل ۱۱-۳ - جستجو برای یافتن نقطه همرسی برای همدماهای ضریب کشیدگی آرگون ۶۴
شکل ۱۲-۳ - ضریب کشیدگی کاهش یافته بر حسب فشار بر اساس معادله حالت DSEOS برای همدماهای مختلف آرگون ۶۷
شکل ۱۳-۳ - تطبیق داده های تجربی بتن با معادله (۳۰-۳) برای همدماهای K ۷۰ و K ۸۰ ۷۸
شکل ۱۴ - جستجو برای یافتن نقطه همرسی ضریب تراکم پذیری برای سیال آرگون با استفاده از معادله عمومی سیالات ۷۸
شکل ۱۵-۳ - بررسی نقطه همرسی ضریب کشیدگی کاهش یافته با استفاده از معادله حالت عمومی سیالات برای سیال آرگون در محدوده دمایی K ۹۰ - ۱۰۰ ۶۹
شکل ۱۶-۳ - ضریب کشیدگی کاهش یافته محاسبه شده از معادله عمومی سیالات بر حسب فشار برای سیال آرگون برای همدماهای مشخص شده ۷۰
شکل ۱۷-۳ - اندازه گیری ضریب انبساط پذیری همفشار برای (الف) جامدات (ب) مایعات ۷۳
شکل ۱۸-۳ - اندازه گیری ضریب همفشار بر حسب فشار برای سیالات مختلف ۷۵
شکل ۱۹ - نقطه همرسی همدماهای ضریب انبساط پذیری همفشار بر حسب فشار برای ۲،۲،۲ - تری متیل-پتان ۷۷
شکل ۲۰ - نقطه همرسی همدماهای ضریب انبساط پذیری همفشار بر حسب فشار برای دی متیل بوتان ۷۷
شکل ۲۱ - نقطه همرسی همدماهای ضریب انبساط پذیری همفشار بر حسب فشار برای نرمал هگزان ۷۸
شکل ۲۲ - نقطه همرسی همدماهای ضریب انبساط پذیری همفشار بر حسب فشار برای کینولین ۷۸
شکل ۲۳-۳ - ضریب انبساط پذیری همفشار بر حسب فشار برای همدماهای مختلف برای سیال هگزان نرمال با استفاده از معادله وان دروالس ۷۹
شکل ۲۴-۳ - ضریب انبساط پذیری همفشار بر حسب فشار برای همدماهای مختلف سیال هگزان نرمال با استفاده از معادله ردیخ-وانگ ۸۰
شکل ۲۵-۳ - ضریب انبساط پذیری همفشار بر حسب فشار برای همدماهای مختلف سیال هگزان نرمال با استفاده از معادله پنگ - راینسون ۸۰

- شکل ۲۶-۳ - ضریب انبساط پذیری همفشار بر حسب فشار برای همدماهای مختلف سیال هگزان نرمال با استفاده از داده های جربی ۸۰
- شکل ۲۷-۳ - ضریب انبساط پذیری همفشار بر حسب فشار برای همدماهای مختلف سیال هگزان نرمال با استفاده از معادله کارناها - استارلينگ - ردلیخ - وانگ ۸۱
- شکل ۲۸-۳ - ضریب انبساط پذیری همفشار بر حسب فشار برای همدماهای مختلف سیال هگزان نرمال با استفاده از معادله کارناها - استارلينگ - وان دروالس ۸۱
- شکل ۲۹-۳ - نمودار ضریب انبساط پذیری همفشار بر حسب فشار در همدماهای مختلف برای سیال هگزان نرمال با استفاده از معادله دیترز - رانزیو ۸۱
- شکل ۳۰-۳ - وابستگی نقطه همرسی α_p با تغییر کسر مولی (الف) نرمال هگزان ($x = ۰ / ۹۵$) و هگزانول (ب) مخلوط نرمال هگزان ($x = ۰ / ۷۳$) و هگزانول در محدوده دمایی $K_{۳۰۳} - ۵۰۳$ ۸۲
- شکل ۳۱-۳ - نقطه همرسی α_p دی سولفید کرین خالص برای همدماهای مشخص شده ۸۳
- شکل ۳۲-۳ - نقطه همرسی α_p استون خالص برای همدماهای مشخص شده ۸۳
- شکل ۳۳-۳ - نقطه همرسی α_p مخلوط استن و دی سولفید کرین با ترکیب $x = ۰ / ۵$ برای همدماهای مشخص شده ۸۴
- شکل ۳۴-۳ - وابستگی نقطه همرسی α_p بر حسب فشار برای تولوئن در محدوده دمایی $K_{۲۰۲-۳۰۴}$ ۸۵
- شکل ۳۵-۳ - وابستگی نقطه همرسی α_p بر حسب فشار برای تولوئن در محدوده دمایی $K_{۴۵۸-۳۳۵}$ ۸۵
- شکل ۳۶-۳ - رسم $\ln \rho$ بر حسب T برای همفشار نقطه همرسی (ρ_{in}) مطابق با معادله (۳-۵۲) برای سیال آرگون ۸۶
- شکل ۳۷-۳ - بررسی نقطه همرسی ضریب انبساط پذیری همفشار بر حسب فشار با استفاده از معادله حالت DSEOS نسبت به مقادیر تجربی برای سیال کینولین ۸۸
- شکل ۴-۱ - انطباق داده های تجربی با معادله (۴-۱۰) برای چند همدمای مختلف برای سیال نرمال بوتان ۹۲
- شکل ۴-۲ - انطباق داده های تجربی با معادله (۴-۱۰) برای چند همدمای مختلف برای سیال آرگون ۹۳
- شکل ۴-۳ - انطباق داده های تجربی با معادله (۴-۱۰) برای چند همدمای مختلف برای سیال نیتروژن ۹۳
- شکل ۴-۴ - انطباق پارامتر A_4 معادله (۴-۱۸) برای سیال آرگون نسبت به مقادیر تجربی ۹۵
- شکل ۴-۵ - انطباق پارامتر A_1 معادله (۴-۱۸) برای سیال آرگون نسبت به مقادیر تجربی ۹۶
- شکل ۴-۶ - انطباق پارامتر A_2 معادله (۴-۱۸) برای سیال آرگون نسبت به مقادیر تجربی ۹۶
- شکل ۴-۷ - انطباق پارامتر A_3 معادله (۴-۱۸) برای سیال آرگون نسبت به مقادیر تجربی ۹۷
- شکل ۴-۸ - توانایی معادله (۴-۱۰) در پیش بینی ضریب تراکم پذیری همدماهای آرگون در محدوده دمایی $۱۶۰ - ۲۰۰$ کلوین ۹۸
- شکل ۴-۹ - بررسی نقطه همرسی ضریب کشیدگی کاهش یافته بر حسب دانمیته برای سیال آرگون با استفاده از

معادله (۱۹-۴) ۹۹

شکل ۴-۱۰- نمودار ضریب کشیدگی بر حسب فشار برای سیال آرگون در دماهای ۲۰۰ و ۳۰۰ و ۴۰۰ کلوین با استفاده از معادله (۲۲-۴) ۱۰۰

شکل ۴-۱۱- تطبیق داده های تجربی مخلوط آب ($x = ۰ / ۸۵$) و CF_3CH_2OH با معادله (۲۵-۴) ۱۰۲

شکل ۴-۱۲- تطبیق داده های تجربی DMB با معادله (۲۵-۴) ۱۰۲

شکل ۴-۱۳- تطبیق داده های تجربی اتانول با معادله (۲۵-۴) ۱۰۳

شکل ۴-۱۴- تطبیق داده های تجربی آرگون با معادله (۲۵-۴) ۱۰۳

شکل ۴-۱۵- انطباق پارامتر B_0 معادله (۲۹-۴) نسبت به دما برای سیال DMB ۱۰۴

شکل ۴-۱۶- انطباق پارامتر B_1 معادله (۲۹-۴) نسبت به دما برای سیال DMB ۱۰۵

شکل ۴-۱۷- انطباق پارامتر B_2 معادله (۲۹-۴) نسبت به دما برای سیال DMB ۱۰۵

شکل ۴-۱۸- انطباق پارامتر B_3 معادله (۲۹-۴) نسبت به دما برای سیال DMB ۱۰۶

شکل ۴-۱۹- محاسبه $k_T = \frac{1}{\rho} \times \left(\frac{\partial \rho}{\partial p} \right)_T$ برای همدماهی ۲۷۸/۵ K تری متیل پتان با استفاده از معادله (۲۹-۴) در مقایسه با داده های تجربی ۱۰۶

شکل ۴-۲۰- بررسی نقطه همرسی ضریب تراکم پذیری برای سیال متان از معادله (۲۹-۴) در همدماهای مختلف ۱۰۷

شکل ۴-۲۱- بررسی نقطه همرسی ضریب کشیدگی با استفاده از معادله (۲۹-۴) برای سیال آرگون ۱۰۸

شکل ۴-۲۲- محاسبه ضریب انساط پذیری همسشار بر حسب فشار برای سیال DMB با استفاده از معادله (۳۳-۴) در مقایسه با مقادیر تجربی ۱۱۰

شکل ۴-۲۳- تحقیق برای محاسبه فشار همرسی برای سیال DMB در محدوده دمایی ۲۶۰-۲۸۰ کلوین به طور نموداری بر اساس معادله (۳۶-۴) ۱۱۰

شکل ۴-۲۴- تحقیق برای محاسبه فشار همرسی برای سیال DMB در محدوده دمایی ۳۲۰-۳۴۸/۱۵ کلوین به طور نموداری بر اساس معادله (۲۶-۴) ۱۱۱

شکل ۴-۱- صحت معادله (۱۹-۵) برای سیال آرگون در محدوده دمایی K ۱۶۰-۲۰۰ ۱۲۵

شکل ۵-۲- نقطه همرسی ضریب تراکم پذیری همسشار سیال آرگون برای همجمهای ۲۹، ۳۰، ۳۱ و ۳۲ مول بر لیتر ۱۲۷

شکل ۵-۳- نمودار α_p بر حسب p برای همدماهای CS_2 در محدوده دمایی ۲۴۳ تا ۳۵۳ کلوین ۱۲۷

شکل ۵-۴- نمودار $\frac{1}{\alpha_p}$ بر حسب p برای همجمهای CS_2 ۱۲۷